

ФИЗИОЛОГИЯ

Я. И. АЖИПА, И. М. БОНДАРЕВ, В. П. ИВАНОВА

**СООТНОШЕНИЕ МЕЖДУ АЛЛЕРГИЧЕСКОЙ РЕАКТИВНОСТЬЮ
КЛЕТОЧНЫХ СТРУКТУР И РАСПАДОМ ОЧАГА
СПЕЦИФИЧЕСКОГО ПОРАЖЕНИЯ**

(Представлено академиком Е. М. Крепсом 22 V 1969)

Многолетний спор исследователей о природе клеточного состава очага туберкулеза воспаления не был разрешен и с появлением достаточно совершенного метода радиоактивных изотопов, который позволял установить, создается ли очаг туберкулезного воспаления за счет миграции клеток из крови или путем митотического деления местных клеток (1, 2). Изучение литературных данных позволяет полагать, что оба механизма имеют существенное значение в возникновении очага туберкулезного воспаления, но их роль может быть различна в зависимости от стадии формирования очага поражения. Поэтому мы поставили перед собой задачу определить по скорости включения H^3 -тимидина в клетки очага туберкулезного воспаления соотношение между напряженностью аллергической реактивности, скоростью накопления H^3 -тимидина, характером клеточных реакций и временем наступления деструктивного процесса в очаге туберкулезного воспаления. Исследования такого рода нам неизвестны.

Методика. Морских свинок с выраженным аллергическим реагированием Манту ($d = 20-25$ мм) на 0,1 мл туберкулина в разведении 1:10 заражали внутрилегочно 1 мг микобактерий туберкулеза (штамм H_{37}Rv) в 0,2 мл физиологического раствора. Животным внутрибрюшинно вводили H^3 -тимидин из расчета 0,5 мС/г и забивали спустя 48 час. на 3, 7 и 21 день после заражения.

Радиоактивность тканей органов измеряли в карбонитметре фирмы Lie Belin. Пробы для измерений готовились по методике Мид и Штиглиц. Радиоактивность сырых тканей выражали в процентах от введенной активности на 1 г веса животного.

Гистоавторадиографы получены по модифицированной методике М. Ф. Меркулова при помощи фотомульсии НИИХИМФОТО типа Р при экспозиции 3 недели.

В опытах использовано 25 морских свинок: I группа — контрольная, 7 здоровых животных, получивших только H^3 -тимидин; II группа — 6 животных, забитых через 3 дня после заражения и 48 час. после введения H^3 -тимидина; III группа — 6 животных, забитых через 6 дней после заражения и 48 час. после введения H^3 -тимидина; IV группа — 6 животных, забитых через 21 день после заражения и 48 час. после введения H^3 -тимидина.

Полученные данные обработаны методами математической статистики.

Результаты. Диаметр очага специфической пневмонии в легком через 3 дня после заражения составлял $4,08 \pm 0,69$ мм (средний объем $v_3 = 35,5 \text{ mm}^3$), а спустя 7 дней достиг $10,5 \pm 0,55$ мм ($v_7 = 660 \text{ mm}^3$). На 21 день после заражения диаметр очага поражения составлял $13,5 \pm 0,17$ мм ($v_{21} = 1288,4 \text{ mm}^3$) с полостью распада диаметром $5,83 \pm 1,32$ мм ($v_{\text{п}} = 103 \text{ mm}^3$). Таким образом, в течение трех недель после заражения очаг туберкулезного поражения прогрессивно увеличивался между 3 и 7 днями на 61,2% и между 7 и 21 днями на 22,2%. Еще более резкие различия выявляются при сравнении объемов очагов поражения

(соответственно на 94,6 % и 48,8 %). Это позволяет, что увеличение числа клеток в очаге туберкулезного поражения происходит в течение первой недели после заражения. В последующие две недели темп прироста числа клеточных элементов замедляется, но различия остаются существенными ($P < 0,001$).

Гистологически на 3 день после заражения в месте инокуляции инфекта установлена пролиферация гистиоцитарных клеток в межальвеолярных перегородках и диффузная лимфоидно-клеточная инфильтрация периваскулярной и перибронхиальной зоны. На 7 день утрачивается обычное строение легкого, и в месте инокуляции инфекта определяется пролиферация эпителиоидных клеток, образующих крупные комплексы (буторки), в центре которых местами имеются мелкие участки казеозного некроза, инфильтрированные полиморфоноядерными лейкоцитами. По всей территории очага выявляются микобактерии туберкулеза. На 21 день после заражения очаг поражения состоит из туберкулезной грануляционной ткани. В центре очага — полость распада, заполненная расплавленной массой казеозного некроза. Микобактерии туберкулеза выявляются в эпителиоидных клетках туберкулезных бугорков и протоплазме альвеолярных макрофагов.

Таким образом, гистологические данные показывают, что увеличению размеров очага поражения в легком в течение первой недели после заражения сопутствует возникновение всех основных клеточно-тканевых структур туберкулезного воспаления, что связано, прежде всего, с наличием специфического аллергического состояния у животных. За последующие две недели новым элементом в очаге воспаления явился распад казеозно-некротических масс и образование каверны.

На рис. 1 приведены изменения скорости включения H^3 -тимицина отдельными органами морских свинок. Из сопоставления рис. 1 с вышеописанными изменениями размеров очага и его гистологической структуры следует, что существует параллелизм между удельной скоростью накопления H^3 -тимицина и увеличением очага туберкулезного поражения. Так, в течение первой недели превышение активности очага над тканью легкого здорового животного составило 44 %, а за вторую и третью недели (относительно 7 дня) всего 19 %. Аналогичные соотношения сохраняются при подсчете абсолютного числа импульсов за 1 мин., приходящихся на объем очага поражения. Оказывается, что между 3 и 7 днями число импульсов увеличивается в 26 раз, а между 7 и 21 днями всего в 2,6 раза. Все эти расчеты, а также данные рис. 1 показывают, что через 3 недели после заражения в очаге туберкулезного поражения и других органах состояние клеточных популяций микроорганизма приближается к стабилизации. Поскольку численность микобактерий туберкулеза за эти же промежутки времени не изменилась, следует допустить, что распад клеточных элементов,

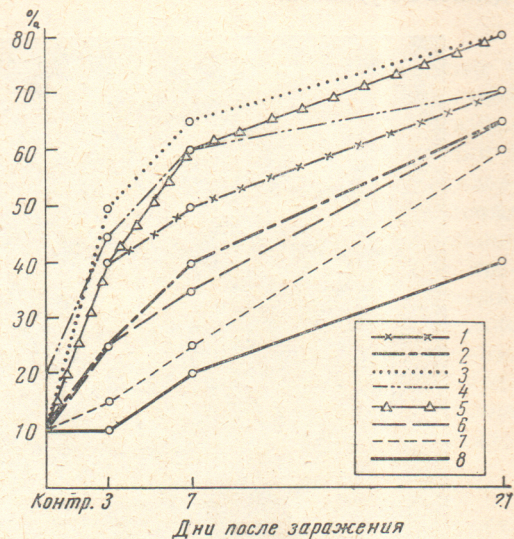


Рис. 1. Изменение скорости включения H^3 -тимицина после внутрибрюшинного его введения вакцинированным морским свинкам после внутрилегочного заражения вирулентным штаммом микобактерий туберкулеза. 1 — очаг (стенка), 2 — легкое (левое), 3 — селезенка, 4 — регионарный лимфатический узел, 5 — печень, 6 — почка, 7 — надпочечник, 8 — головной мозг

образование казеозного некроза, а затем и каверны легкого является следствием изменения реактивности клеточных элементов.

Изучение гистоавтографов (рис. 2) дает основание полагать, что среднее соотношение меченых и немеченых клеток равно $\sim 1 : 10$. Однако в эпителиоидных бугорках и лимфоидных скоплениях указанное соотношение может возрасти до $1 : 2$. В казеозном некрозе имеется значительное количество «осколков» H^5 -тимицина, но сохранившихся меченых клеток определить не удалось.

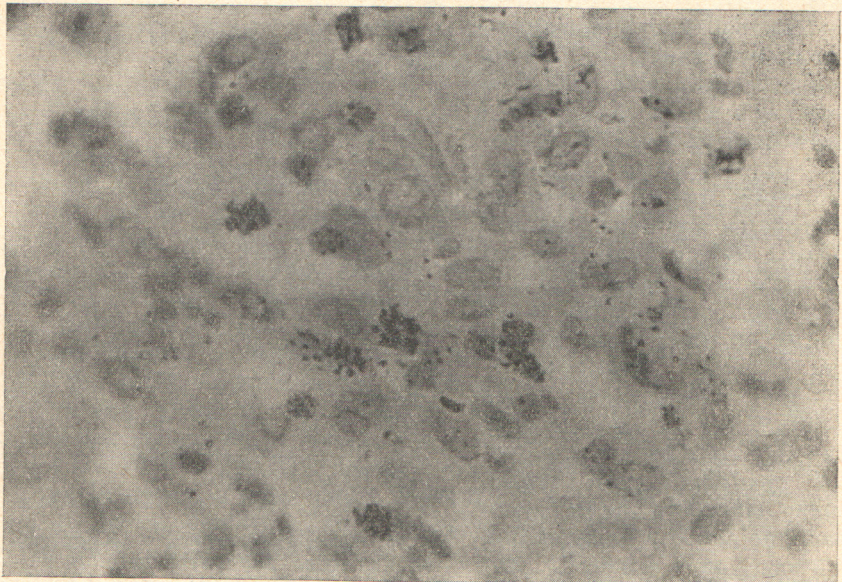


Рис. 2. Соотношение меченых и немеченых клеток в формирующейся туберкулезной гранулеме на 7 день после заражения

Если сопоставить наши расчеты с данными⁽²⁾, то окажется, что на 1 меченую клетку, поступившую в очаг поражения из кровеносного русла, приходится 9 клеток, возникших в результате деления в очаге поражения.

Таким образом, изменение размеров очага туберкулезного поражения происходит за счет изменения темпа пролиферации клеточных элементов очага, который, в свою очередь, обеспечивает оптимальное соотношение между количеством антигена и числом иммунокомпетентных клеток. Местное значительное накопление антигена ведет к гибели клеток туберкулезного бугорка, образование казеозного некроза и вызывает необходимость в восстановлении нового равновесия путем размножения аналогичных клеток. Поскольку этот процесс к 21 дню наблюдения близок к стабилизации, можно полагать, что соотношение между напряженностью специфической аллергической реактивности клеточных элементов очага туберкулезного поражения с плотностью антигена в период начала распада казеозных масс и образования каверны близко к предельному равновесию.

Московский научно-исследовательский институт туберкулеза
Институт высшей нервной деятельности и нейрофизиологии
Академии наук СССР
Москва

Поступило
6 V 1969

ЦИТИРОВАННАЯ ЛИТЕРАТУРА

¹ B. G. Arnason, B. H. Waksman, Advances in Tuberculosis Research, 13, N.Y., 1964, p. 1. ² W. G. Spector, A. W. J. Zykke, D. A. Willoughby, J. Pathol. and Bacteriol., 93, № 1, 101 (1967).